

# Chapter 2 多项式插值

张亚楠\*

February 24, 2024

## 引言

在某个区间  $[a, b]$  上给出一系列函数点值

$$y_j = f(x_j), \quad 0 \leq j \leq n$$

如何寻找某个“指定类型”的函数  $p(x)$ ，使其满足如下条件：

- 1)  $p(x)$  在整个区间  $[a, b]$  上有定义
- 2)  $p(x_j) = f(x_j), \quad j = 0, 1, \dots, n.$

- 1) 存在性？唯一性？
  - 2) 若存在唯一，如何给出？

## 1 插值法基本原理

**定义 1** 设函数  $y = f(x)$  定义在区间  $[a, b]$  上,  $x_0, x_1, \dots, x_n$  是  $[a, b]$  上取定的  $n+1$  个互异节点, 且已知节点处的函数值  $f(x_0), f(x_1), \dots, f(x_n)$ ; 若存函数  $\phi(x)$ , 满足

$$\phi(x_i) = f(x_i), \quad i = 0, 1, 2, \dots, n$$

则称  $\phi$  为  $f(x)$  的一个插值函数,  $f(x)$  为被插值函数, 点  $x_i$  为插值节点, 上式为插值条件, 而误差函数  $R(x) = f(x) - \phi(x)$  称为插值余项。

---

\* ynzhang@suda.edu.cn    苏州大学数学科学学院

从计算和理论分析方便的角度出发，多项式插值是最常用的。也即是：对 $n+1$ 个插值节点选择 $n$ 次多项式

$$P_n(x) = \sum_{j=0}^n c_j x^j = c_0 + c_1 x + \cdots + c_n x^n$$

作为插值函数，使其满足插值条件.

1. 多项式 $P(x)$  是否存在唯一?
2. 若存在唯一，如何求 $P(x)$  ?

根据插值条件得到关于系数 $\mathbf{c} = [c_0, \dots, c_n]^\top$ 的线性方程组

$$\begin{pmatrix} 1 & x_0 & \cdots & x_0^n \\ 1 & x_1 & \cdots & x_1^n \\ \vdots & \vdots & & \vdots \\ 1 & x_n & \cdots & x_n^n \end{pmatrix} \begin{pmatrix} c_0 \\ c_1 \\ \vdots \\ c_n \end{pmatrix} = \begin{pmatrix} f_0 \\ f_1 \\ \vdots \\ f_n \end{pmatrix}$$

记为  $\mathbf{V}\mathbf{c} = \mathbf{f}$ .

**定理 1**  $(n+1)$ 个互异节点 $x_j \neq x_k, j \neq k$ , 的多项式插值是存在唯一的.

证明：此时Vandermonde矩阵 $\mathbf{V}$ 是可逆的，则方程组 $\mathbf{V}\mathbf{c} = \mathbf{f}$  唯一可解. 证明完毕. ■

```

1 function [pt, c] = vanderpolyfit(x,y,t)
2 %% compute interpolation polynomial p
3 %% via monic basis // Vandermonde Matrix
4 % input:  x: interp Xnodes
5 %         y: interp func value on Xnode
6 %         t: the nodes be evaluated
7 % output: c: poly coeffs of p:= c0 + c1*x + c2*x.^2 + ...
8 %         pt = p(t)
9 % ynzhang@suda.edu.cn // 2022/10/17
10 % for example:
11 %     x = (1:6);    y = [16, 18, 21, 17, 15, 12];
12 %     t = (0.8:0.01:6.2)'; [pt, c] = vanderpolyfit(x,y,t);
13 %     figure; fig1 = plot(x,y,'ko','MarkerSize',8); hold on,
14 %     plot(t,pt,'r-','LineWidth',1.5);
15 %     legend('interp pts','interp poly'); hold off; grid on;
16 n = length(x)-1;          % degree of poly
17 V = x(:).^(0:n);          % vander matrix: [1 x x^2 ... x^n]
```

```

18 c = V \ y(:);           % coefs of p(x) = c0 + c1*x + c2*x^2 + ...
19 Vt = t(:).^ (0:n);  pt = Vt*c; % evaluate p(t)

```

## 两个结论

- (1) Good news: 系数矩阵 $A$ 对互异节点 $\{x_j\}$ 是非奇异的(Vandermonde矩阵), 因此解 $\{c_j\}$ 存在唯一。当 $n \lesssim 10$ 时, 矩阵的条件数不太大, 可以采用。
- (2) Bad news: 当 $n$ 较大时, Vandermonde 矩阵 $A$ 是极其病态的, 求解不准确。

## 解决方案

- (1) Trefethen et al, Vandermonde with Arnoldi: SIAM REVIEW(2021) Vol. 63, No. 2, pp. 405–415
- (2) 选择正交多项式 (Chebyshev, Legendre) 作为基函数, 避免选择单项式作为基函数
- (3) Other methods: Lagrange, Barycentric formula ...

**标注 1** 多项式插值的存在唯一性定理至关重要!! 由于次数不超过 $n$ 的多项式空间是 $(n+1)$ 维线性空间, 则所求多项式可以由该空间的一组基线性表示。除了刚刚介绍的单项式基, 还可以选择其它基函数, 每组基对应一种插值法, 例如: Lagrange, Newton, barycentric, (带权的或者近似的)正交多项式基。

### 教学内容选择

1. 本科生: Lagrange插值、Newton插值、两类典型Hermite插值、分段低次插值
2. 研究生: Vandermonde矩阵和插值多项式的存在唯一性、Lagrange插值的重心坐标形式、Hermite插值的一般形式和存在唯一性; 不讲但简单评论 Newton插值和分段低次插值

## 2 Lagrange 插值多项式

**例 1** (线性插值) 已知两点函数值

$$y_0 = f(x_0); \quad y_1 = f(x_1)$$

构造满足插值条件的一次多项式。

解：设  $P_1(x) = ax + b$  利用插值条件得到方程组

$$ax_0 + b = y_0; \quad ax_1 + b = y_1$$

解得斜率, 进而得到点斜式

$$P_1(x) = y_0 + \frac{y_1 - y_0}{x_1 - x_0}(x - x_0)$$

更改形式为

$$P_1(x) = \frac{x - x_1}{x_0 - x_1} y_0 + \frac{x - x_0}{x_1 - x_0} y_1 := y_0 \cdot l_0(x) + y_1 \cdot l_1(x)$$

观察上式结构发现:  $P(x)$  是一次函数  $l_0(x)$  和  $l_1(x)$  的线性组合, 而一次函数  $l_0(x)$  和  $l_1(x)$  满足 Kronecker delta 记号性质, 也即

$$l_i(x_j) = \delta_{ij} = \begin{cases} 1 & i = j \\ 0 & i \neq j \end{cases}$$

据此思想给出三个节点的二次插值多项式

$$P_2(x) = y_0 * l_0(x) + y_1 * l_1(x) + y_2 * l_2(x)$$

并推广到一般  $(n+1)$  个节点的基函数的构造

$$L_n(x) = \sum_{j=0}^n f_j l_j(x) = \sum_{j=0}^n f_j \frac{\prod_{k=0, k \neq j}^n (x - x_k)}{\prod_{k=0, k \neq j}^n (x_j - x_k)}$$

观察上式可知

- 1) 插值节点  $x_j$  给定后, 插值基函数即确定, 写程序时可以预先给出。
- 2) 需要计算  $t$  点的值时, 带入计算  $(n+1)$  个基函数的取值
- 3) 计算内积即可

以下代码比 `polyinterp.m`<sup>1</sup> 稳定性更好! 以 Runge 函数 为例, 选择 Chebyshev 点为插值节点 当  $n = 618$  时, `polyinterp` 不稳定 而下段代码有效. 但是需要说明, `lagrang1.m` 效率不高, 稳定性也不如接下来要介绍的重心坐标插值法。

<sup>1</sup>Mathwork, Cleve Moler, Matlab 创始人

```

1 function p = lagrange1( x, f, t )
2 % Evaluates Lagrange interpolating poly
3 % L is basis 'Vandermonde type' matrix [l0, l1...ln]
4 x = x(:); f = f(:); n = length(x); m = length(t);
5 dX = x - x.' + eye(n); w = prod(dX,2);
6 L = zeros(m,n);
7 for j = 1:n
8     dX = t(:) - x([1:j-1 j+1:n]).' ;
9     L(:,j) = prod(dX,2) / w(j);
10 end
11 p = L*f;

```

**例 2** (1) 已知  $\sqrt{100} = 10, \sqrt{121} = 11$ , 求  $\sqrt{115}$

(2) 用抛物插值计算  $\sqrt{7}$

想一想：插值多项式与被插函数是否完全相等? i.e.,

$$R_n(x) = f(x) - L_n(x) = 0 \quad ?$$

**定理 2** 设  $f^{(n)}(x)$  在  $[a, b]$  连续,  $f^{(n+1)}(x)$  在  $(a, b)$  存在, 则对  $\forall x \in [a, b]$ ,

$$R_n(x) = f(x) - L_n(x) = \frac{f^{(n+1)}(\xi)}{(n+1)!} \prod_{j=0}^n (x - x_j)$$

**Hint :**  $R_n(x)$  有  $n+1$  个零点; 因此

$$R_n(x) = K(x) * \prod_{j=0}^n (x - x_j)$$

则只需确定  $K(x)$ . 为利用 Rolle 定理, 做辅助函数

$$\varphi(t) = f(t) - L_n(t) + K(x) * \prod_{j=0}^n (t - x_j)$$

观察上式, 除  $(n+1)$  个插值节点,  $t = x$  也是  $\varphi(t)$  的零点。因为  $\varphi(x)$  有至少  $(n+2)$  个零点, 由 Rolle 定理知道  $\exists \xi \in (a, b)$ , s.t.,  $\varphi^{(n+1)}(\xi) = 0$ , 即得结论. ■

思考：如果被插值函数本身是次数不超过  $n$  的多项式, 则余项有何特点?

**例 3** (1). 证明:  $\sum_{j=0}^4 (x_j - x)^2 * l_j(x) = 0$ , 其中  $l_j(x)$  是节点  $x_0, x_1, \dots, x_4$  确定的插值基函数。

(2). 证明:

$$\max_{a \leq x \leq b} \left| f(x) - \left[ f(a) + \frac{f(b) - f(a)}{b - a} (x - a) \right] \right| \leq \frac{1}{8} (b - a)^2 \|f''\|_{\infty}$$

## 2.1 Barycentric Lagrange interpolation \*(研究生要求掌握，本科生选学)

本节内容选自文献<sup>2</sup>. 首先给出Lagrange插值的原始形式

$$p(x) = \sum_{j=0}^n f_j \ell_j(x), \quad \ell_j(x) = \frac{\prod_{k=0, k \neq j}^n (x - x_k)}{\prod_{k=0, k \neq j}^n (x_j - x_k)}$$

记

$$\ell(x) = (x - x_0)(x - x_1) \cdots (x - x_n),$$

$$w_j = \frac{1}{\prod_{k \neq j} (x_j - x_k)}, \quad j = 0, \dots, n$$

则Lagrange插值基函数可写为

$$\ell_j(x) = w_j \frac{\ell(x)}{x - x_j} = \ell(x) \frac{w_j}{x - x_j}$$

及Lagrange的另一表达式<sup>3</sup>

$$p(x) = \ell(x) \sum_{j=0}^n \frac{w_j}{x - x_j} f_j \quad \begin{array}{l} \text{BARYCENTRIC} \\ \text{FORMULA (I)} \end{array}$$

借助于恒等式

$$1 = \sum_{j=0}^n \ell_j(x) = \ell(x) \sum_{j=0}^n \frac{w_j}{x - x_j}$$

得到重心坐标形式

$$p(x) = \frac{\sum_{j=0}^n \frac{w_j}{x - x_j} f_j}{\sum_{j=0}^n \frac{w_j}{x - x_j}} \quad \begin{array}{l} \text{BARYCENTRIC} \\ \text{FORMULA (II)} \end{array}$$

该表达式数值稳定性更好，且分子分母具有对称性，权重向量 $\{w_j\}$ 乘以任意常数均不改变上述表达式；因此，应用代码时通常对权重向量采用归一化避免 $w_j$ 数值过小溢出（例如：令 $w$ 的最大模为1）。当插值节点选择Chebyshev零点或者Chebyshev - Lobatto点时，有规范后的权重表达式

$$x_j = \cos\left(\frac{j\pi}{n}\right), \quad w_j = (-1)^j \delta_j, \quad \delta_j = \begin{cases} 1/2, & j = 0 \text{ or } j = n \\ 1, & \text{otherwise} \end{cases} \quad (1)$$

$$x_j = \cos\left(\frac{(j + \frac{1}{2})\pi}{n + 1}\right), \quad w_j = (-1)^j \sin\left(\frac{(j + \frac{1}{2})\pi}{n + 1}\right) \quad (2)$$

<sup>2</sup>Trefethen et al, Barycentric Lagrange Interpolation, SIAM REVIEW (2004) Vol. 46, No. 3, pp. 501–517  
文章中提到：Barycentric Lagrange插值形式，应该被广泛知晓；而实际上很多人不知道，包括一些数值分析学家。

<sup>3</sup>也称为重心坐标。由于 $\ell(x)$ 是一些节点的乘积，当节点过于密集时数值会很快趋于零，向下溢出 underflow。

```

1 function [ p, w ] = baryinterp0(x,y,t)
2 %   input: x:interpolation nodes
3 %           y:f(x)
4 %           t: nodes be evaluated
5 % output: p = p(u): p:interp poly
6 x = x(:);   y = y(:);   n = length(x)-1;
7 % check chebshev pts
8 x_cheb1 = cos(((n:-1:0)'+0.5) *pi./(n+1) );
9 x_cheb2 = cos((n:-1:0) '*pi./n);
10 if norm(sort(x(:)) - x_cheb2(:),inf) < 5*eps
11     w = (-1).^(0:n)';      w([1 end]) = 0.5*w([1 end]) ;
12 elseif norm(sort(x(:)) - x_cheb1(:),inf) < 5*eps
13     w = sin( ((n:-1:0)'+0.5) *pi./(n+1) ); w = w.*(-1).^(0:n)';
14 else
15     w = x - x.' + eye(n+1);
16     w = prod(w,2);          % prod_j=0^n j~=i; (x_i - x_j)
17     w = 1./w;
18     w = w./norm(w,inf);     % scaled normalized as max(w_j) = 1
19 end
20 C = t(:) - x.';             [J, K] = find(abs(C) < 5*eps);
21 C = 1 ./ C;                 p = ( C*(y.*w) ) ./ ( C*w );
22 % % % % % % % % % %      known value
23 p(J) = y(K);

```

当选择Chebyshev点插值，代码稳定性极好， $n \approx 20000$  依然有效。但是若是非Chebyshev点，按定义式计算权重 $w_j$  对 $n > 1000$ 时不稳定的；例如Legendre多项式零点(Guass点)，不可按照定义直接计算，可寻求其它办法<sup>4</sup>。实际问题中往往不会采用几百上千个点去做插值，真的遇到这种情况，可以采用正交多项式作为基函数。

<sup>4</sup>Legendre极值点和零点都没有重心权重的显式表达式！这是 Trefethen2004SIREV文章提到的。是否有可能寻求其显式表达式或者 有某种简单的迭代法来逼近这一权重？若迭代法可行，则Chebyshev对应的权重必定是好的迭代初值！

### 3 Newton 插值

给定5个插值节点及其函数值,可以得到 $L_4(x)$ ;由于某种原因,需要加入一个新的插值节点, Lagrange插值法之前的计算结果是否还有用?

R-(1) Newton 插值法可以保留低次插值的结果

R-(2) Newton插值构造 Hermite插值更加直观和方便

R-(3) Newton法并不比Lagrange法更稳定!

R-(4) Lagrange插值基函数不依赖于被插值函数 $f_j$

R-(5) Lagrange插值不依赖于插值节点的排列顺序, Newton差商理论上等价但不同的排列顺序对稳定性有影响

**定义 2** 差商: 给定节点及其函数值, 记

$$f[x_i, x_j] = \frac{f(x_j) - f(x_i)}{x_j - x_i}$$

为一阶差商;

$$f[x_0, x_1, \dots, x_m] = \frac{f[x_1, \dots, x_m] - f[x_0, \dots, x_{m-1}]}{x_m - x_0}$$

为 $m$ 阶差商; 规定  $f[x_i] = f(x_i)$  为零阶差商

#### 3.1 差商的几个性质

**命题 3.1** 函数 $f(x)$ 的 $n$ 阶差商可由函数值的线性组合表示,

$$f[x_0, x_1, \dots, x_n] = \sum_{k=0}^n \frac{f(x_k)}{\prod_{j=0, j \neq k}^n (x_k - x_j)}$$

**Hint :** 归纳法证明, 比较对应系数

$$f[x_1, \dots, x_n] = \sum_{k=1}^n \frac{f(x_k)}{\prod_{j=1, j \neq k}^n (x_k - x_j)}$$

$$f[x_0, x_1, \dots, x_{n-1}] = \sum_{k=0}^{n-1} \frac{f(x_k)}{\prod_{j=0, j \neq k}^{n-1} (x_k - x_j)}$$

则  $f(x_k)$  的系数

$$\begin{aligned} & \frac{1/\prod_{j=1, j \neq k}^n (x_k - x_j) - 1/\prod_{j=0, j \neq k}^{n-1} (x_k - x_j)}{x_n - x_0} \\ &= \frac{1}{\prod_{j=1, j \neq k}^{n-1} (x_k - x_j)} \left( \frac{1}{x_k - x_n} - \frac{1}{x_k - x_0} \right) / (x_n - x_0). \end{aligned}$$



**命题 3.2** 差商具有对称性

$$f[x_0, x_1] = f[x_1, x_0]; \quad f[x_0, x_1, x_2] = f[x_2, x_0, x_1]$$

**Hint :** 可由上一性质直接给出. ■

**命题 3.3** 若

$$f[x, x_0, x_1, \dots, x_k]$$

是 $x$ 的 $m$ 次多项式, 则

$$f[x, x_0, x_1, \dots, x_k, x_{k+1}]$$

是 $x$ 的 $m-1$ 次多项式。

**Hint :** 由定义

$$f[x, x_0, x_1, \dots, x_k, x_{k+1}] = \frac{f[x_0, x_1, \dots, x_k, x_{k+1}] - f[x, x_0, x_1, \dots, x_k]}{x_{k+1} - x}$$

上式右端分子是 $x$ 的 $m$ 阶多项式, 且当 $x = x_{k+1}$ 时分子为零, 即分子包含分母作为因子。

消去即得结果。 ■

**命题 3.4**  $f(x)$ 是 $n$ 次多项式, 则 $(n+1)$ 阶差商 $f[x, x_0, x_1, \dots, x_n]$ 恒为零。

思考: 微积分里是否有类似结果?

### 3.2 Newton插值公式推导

观察并验证以下两式满足插值条件:

$$P_1(x) = f(x_0) + f[x_0, x_1](x - x_0)$$

$$P_2(x) = f(x_0) + f[x_0, x_1](x - x_0) + f[x_0, x_1, x_2](x - x_0)(x - x_1)$$

找规律写出一般形式; 如何推导? 验证满足插值条件即可。

根据差商的定义写出下列等式

$$f(x) = f(x_0) + f[x, x_0](x - x_0)$$

$$f[x, x_0] = f[x_0, x_1] + f[x, x_0, x_1](x - x_1); \dots$$

$$f[x, x_0, \dots, x_{n-1}] = f[x_0, x_1, \dots, x_n] + f[x, x_0, \dots, x_n](x - x_n)$$

最后一式代入前一式（把含有 $x$ 的差商换掉）得到

$$\begin{aligned} f(x) &= f(x_0) + f[x_0, x_1](x - x_0) + f[x_0, x_1, x_2](x - x_0)(x - x_1) + \cdots \\ &\quad + f[x_0, \dots, x_n](x - x_0) \cdots (x - x_{n-1}) \\ &\quad + f[x, x_0, \dots, x_n] \prod_{j=0}^n (x - x_j) \\ &:= N_n(x) + R_n(x) \end{aligned} \quad (3)$$

思考:  $N_n(x) \stackrel{?}{=} L_n(x)$ ; 两种插值方法的余项 形式上有何不同?

另外, 利用

$$R_n(x) = f(x) - N_n(x)$$

有 $n+1$ 个零点; 反复利用Rolle定理, 得到

$$f^{(n)}(\xi) - n!f[x_0, x_1, \dots, x_n] = 0$$

进而有如下结论

**命题 3.5** 差商与导数的关系

$$f[x_0, x_1, \dots, x_k] = \frac{f^{(k)}(\xi)}{k!}$$

利用上述结论, 固定 $x_0$ , 并令(3)式中其它所有插值节点 $\{x_j\}_{j=1}^n$ 趋于 $x_0$ , 会得到什么?

**例 4** 已知1, 4, 9的平方根, 利用抛物插值求解 $\sqrt{7}$ . 要求会构造差商表

```

1 function [p, c, A] = mydifftable(X,fX,t)
2 % compute Newton Interpolation p on (X, fX);
3 % output p = p(t), and newton coeffs c
4 % For Example :
5 %     X = [1; 4; 9];      fX = [1; 2; 3];      t = 7;
6 %     figure; LW = 'LineWidth'; plot(X,fX,'ro');
7 %     hold on, fplot(@sqrt(z),[1,9],LW,1); grid on;
8 %     [p, c, A] = mydifftable(X,fX,t);
9 %     plot(t,p,'b*'); hold off;
10 %     legend('X','exact curve','x_{output}','location','best')
11 %     n1 = length(X); varName = cell(1,n1+1);
12 %     varName{1} = 'InterpNodes'; varName{2} = 'FuncValue';
13 %     for j = 3:n1+1

```

```

14 %          mj = [ 'Diff' num2str(j-2) ];
15 %          varName{j} = mj;
16 %          end
17 %          T = array2table(A(:,1:n1+1) , 'VariableNames', varName);
    disp(T);
18
19 % % step 1. compute difference table // n1 * (n1+1)
20 n1 = length(X);
21 A = zeros(n1,n1+1);    A(:,1:2) = [X, fX];
22 y0 = fX;
23 for k = 1:n1-1
24     y0 = (y0(2:end)-y0(1:end-1) )./ (X(k+1:n1) - X(1:n1-k));
25     A(1:n1-k,k+2) = y0;
26 end
27 % step 2. output the coeffs of Newton poly N(x), and compute N(t)
28 c = A(1,2:end);
29 % % output N(t) = c0 + c1*(t-x0) + c2*(t-x0)*(t-x1) + ...
30 w = ones(size(t));    p = c(1)*w;
31 for k = 1:n1-1
32     w = w.*(t - X(k));    p = p + c(k+1)*w;
33 end

```

## 4 典型的Hermite 插值

**例 5** 已知节点 $\{x_j\}_{j=0}^2$ 处的函数值 $\{f(x_j)\}_{j=0}^2$ 和导数值 $f'(x_1)$  试构造三次多项式 $P_3(x)$  使其满足

$$P_3(x_j) = f(x_j), \quad 0 \leq j \leq 2, \quad P'_3(x_1) = f'(x_1)$$

方法一：构造型

由插值条件可假设目标多项式 $P_3(x)$ 具有如下形式

$$P_3(x) = f(x_0) + f[x_0, x_1](x - x_0) + f[x_0, x_1, x_2](x - x_0)(x - x_1) + A(x - x_0)(x - x_1)(x - x_2)$$

其中 $A$ 为待定系数, 可以检验上述 $P_3(x)$  满足与函数 $f(x)$ 在节点处相等. 只要利用导数条件 $P_3'(x_1) = f'(x_1)$ , 即可得到待定系数

$$A = \frac{f'(x_1) - f[x_0, x_1] - (x_1 - x_0)f[x_0, x_1, x_2]}{(x_1 - x_0)(x_1 - x_2)}.$$

## 方法二: Newton插值法

将已知导数值点 $x_1$ 看做重节点; 或者

- (1) 视插值节点为互异节点 $\{x_0, x_1, x_1', x_2\}$
- (2) 构造Newton型插值多项式
- (3) 令 $x_1' \rightarrow x_1$ , 对所得插值多项式取极限

利用牛顿插值的方法和理论 得到

$$H_3(x) = f(x_0) + f[x_0, x_1](x - x_0) + f[x_0, x_1, x_1'](x - x_0)(x - x_1) + f[x_0, x_1, x_1', x_2](x - x_0)(x - x_1)^2$$

以及插值余项:

$$\begin{aligned} R_n(x) &= \frac{f^{(4)}(\xi)}{4!}(x - x_0)(x - x_1)^2(x - x_2) \\ &= f[x, x_0, x_1, x_1', x_2](x - x_0)(x - x_1)^2(x - x_2) \end{aligned}$$

**标注 2**  $f[x_0, x_1, x_1']$ ,  $f[x_0, x_1, x_1', x_2]$  如何定义? 如何计算?

$$f[x_1, x_1'] = \lim_{x_1' \rightarrow x_1} f[x_1, x_1'] = \lim_{\varepsilon \rightarrow 0} f[x_1, x_1 + \varepsilon], \quad f[x_0, x_1, x_1'] = \frac{f[x_1, x_1'] - f[x_0, x_1]}{x_1 - x_0}$$

**例 6** 已知

$$f(x_0) = y_0, f(x_1) = y_1, f'(x_0) = \xi_0, f'(x_1) = \xi_1,$$

构造三次多项式 $H_3(x)$ 满足

$$H^{(k)}(x_j) = f^{(k)}(x_j), \quad k, j = 0, 1$$

可将 $x_0, x_1$ 看作是重节点, 按照Newton插值法进行。

### 方法三、Vandermonde矩阵计算Hermite插值

**定理 3** [Hermite插值的存在唯一性] 对  $m$  个插值节点, 且满足  $2m$  个插值条件

$$f(x_j) = p(x_j), \quad f'(x_j) = p'(x_j), \quad 0 \leq j \leq m-1$$

的  $(2m-1)$  次多项式是存在唯一的.

**证明:** 由Newton插值法可知存在性! 下面证明唯一性. 假设存在  $(2m-1)$  次多项式  $q(x)$  也满足上述插值条件. 记  $r(x) = p(x) - q(x)$ , 则  $r(x)$  是次数不超过  $(2m-1)$  的多项式, 且

$$r(x_j) = r'(x_j) = 0, \quad 0 \leq j \leq m-1.$$

即次数不超过  $(2m-1)$  的多项式  $r(x)$  有  $2m$  个零点(二重节点计算重数), 则  $r(x) \equiv 0$ . ■

考虑例5, 记

$$p(x) = \sum_{j=0}^3 c_j x^j = c_0 + c_1 x + c_2 x^2 + c_3 x^3$$

根据插值条件

$$\sum_{j=0}^3 c_j x_k^j = f(x_k), \quad k = 0, 1, 2 \quad (4)$$

$$\sum_{j=1}^3 c_j * j x_1^{j-1} = f'(x_1) \quad (5)$$

写出矩阵形式

$$\begin{bmatrix} 1 & x_0 & x_0^2 & x_0^3 \\ 1 & x_1 & x_1^2 & x_1^3 \\ 1 & x_2 & x_2^2 & x_2^3 \\ 0 & 1 & 2x_1 & 3x_1^2 \end{bmatrix} \cdot \begin{bmatrix} c_0 \\ c_1 \\ c_2 \\ c_3 \end{bmatrix} = \begin{bmatrix} f_0 \\ f_1 \\ f_2 \\ f'(x_1) \end{bmatrix}$$

此时矩阵规模较小, 条件数不大, 可直接计算求解.

**标注 3** Vandermonde矩阵实现Hermite插值

1. 优点: 需要求解的线性方程组简单清楚! 代码容易实现!
2. 缺点: 线性方程组解的存在唯一性不直观, 需要做进一步分析.

**定理 4** 线性方程组(4)-(5)唯一可解.

**提示:** 化简方法一或者方法二所得的多项式  $p(x)$  为单项式基下形式; 由于  $p(x)$  满足插值条件 则其满足方程组(4)-(5), 可解性得证. 唯一性可由定理3得到. ■

对于例6, 根据4个插值条件 可以唯一确定一个3次多项式. 我们也可以类似给出更一般的Hermite插值方法. 下述代码给出例6的算法, 也可用于计算多个节点.

**例 7** 给定函数  $f(x)$  在插值节点  $\{x_j\}_{j=0}^N$  的函数值  $f(x_j)$  和导数值  $f'(x_j)$ , 求次数不超过  $(2N+1)$  的多项式  $P(x)$ , 使其满足

$$P(x_j) = f(x_j), \quad P'(x_j) = f'(x_j).$$

```

1 % hermite interp on pts x0, x1, cubic poly
2 % 4 conditions y_0, y_1, and y'_0 y'_1
3 x1 = [0; 1]; % more interp pts: x1 = (0:0.2:1)';
4 y1 = exp(x1); dy1 = y1;
5 % P = c0 + c1*x + c2*x^2 + c3*x^3;
6 n = length(x1); [V, dV] = get_vand_diff(x1, 2*n-1);
7 V = [V; dV]; r = [y1; dy1]; c = V \ r;
8 t = (0:0.01:1)'; Vt = t.^(0:2*n-1); pt = Vt*c;
9 figure; plot(t, pt, 'r-', t, exp(t), 'k--'); err = norm(pt - exp(t), inf)
10 %%
11 function [V, dV, d2V] = get_vand_diff(x, m)
12 % for given points x, and intger m
13 % it computes Vandermonde matrix V(x) with degree from 0 to m,
14 % and its 1st and 2nd order derivative matrices V'(x), V''(x)
15 % for example :
16 % syms x; [V, dV, d2V] = get_vand_diff(x, 5)
17 V = x(:).^(0:m);
18 % dV = V(:, [end, 1:m])*diag(0:m);
19 E = eye(m+1); p = [m+1, 1:m]; P = E(:, p);
20 dV = V*P*diag(0:m); % [0 1 2x 3x^2 ...]
21 d2V = dV*P*diag(0:m);
22 end

```

#### 4.1 一般形式的Hermite插值

给定插值节点  $x_j, 0 \leq j \leq n$ , 以及其函数值  $y_j$ , 导数值  $m_j$ , 由定理3知道 存在唯一的  $(2m+1)$  次多项式  $p(x)$  满足插值条件. 现给出构造性的表达式. 记

$$p(x) = \sum_{j=0}^n [y_j \alpha_j(x) + m_j \beta_j(x)] \quad (6)$$

令基函数  $\alpha(x), \beta(x)$  均是次数不超  $(2m+1)$  的多项式, 且满足

$$\alpha_j(x_k) = \delta_{jk}, \quad \alpha'_j(x_k) = 0, \quad \beta_j(x_k) = 0, \quad \beta'_j(x_k) = \delta_{jk} \quad (7)$$

**例 8 (留作业)** 若基函数满足上述条件, 则(6)定义的多项式满足插值条件.

下面给出基函数构造方法. 记  $\ell_j(x)$  为节点处的Lagrange插值基函数, 则

$$\beta_j(x) = (x - x_j)\ell_j^2(x)$$

满足

$$\beta_j(x_k) = 0, \quad 0 \leq k \leq n; \quad \beta_j'(x_k) = \left[ \ell_j^2(x) + (x - x_j)2\ell_j(x)\ell_j'(x) \right]_{x=x_k} = \delta_{jk}.$$

令

$$\alpha_j(x) = W(x)\ell_j^2(x) \rightarrow \alpha_j(x_k) = \alpha_j'(x_k) = 0, \quad j \neq k.$$

下面由待定系数法计算  $W(x)$ . 由于次数限制, 设  $W(x) = ax + b$ ,

$$\alpha_j(x_j) = 1 \Rightarrow W(x_j) = ax_j + b = 1 \quad (8)$$

$$\alpha_j'(x_k) = 0 \Rightarrow W'(x_j)\ell_j^2(x_j) + W(x_j)2\ell_j(x_j)\ell_j'(x_j) = a\ell_j^2(x_j) + 2\ell_j(x_j)\ell_j'(x_j) = 0 \quad (9)$$

得到  $a, b$ . 进而  $W(x) = 1 - 2(x - x_j)\ell_j'(x_j)$  以及

$$\alpha_j(x) = \left[ 1 - 2(x - x_j)\ell_j'(x_j) \right] \ell_j^2(x).$$

**标注 4** 如上形式的基函数有显式表达式, 可直接计算。其中  $\ell_j'(x_j) = \sum_k \frac{1}{x_j - x_k}$ . 这一表达式在谱方法课程中有详细推导, 读者也可以自己计算得到. 我们给出代码, 但是要说明: 有显式表达式并不代表 稳定和高效; 对于Hermite插值, 也应当采用正交多项式及其导数作为基函数.

```

1 f = @(x) 1./(1+25*x.^2);      df = @(x) -f(x).*f(x).*50.*x;
2 n = 55;                      x1 = cos((0:n)'*pi/n);
3 y1 = f(x1);                  dy1 = df(x1);
4 % P = c0 + c1*T1 + c2*T2 + c3*T3... by lagrange-hermite basis
5 M = 2001;                    t = linspace(-1,1,M)';
6 ell = lag_basis(x1,t);        t_minus_x = (t(:) - x1. ');
7 bet = t_minus_x.*ell.^2;
8 %
9 mj = 1./(x1 - x1. ');        mj(isinf(mj)) = 0;
10 ell_prime = sum(mj,2);
11 alp = (1 - 2.*t_minus_x*diag(ell_prime)).*ell.^2;
12 % hermite interp by lagrange basis

```

```

13 pt = alp*y1 + bet*dy1;    e1 = norm(pt - f(t),inf)
14 %%%
15 function l = lag_basis( x, xt )
16 % l is lagrange interp basis m \times n mat
17 % x: interp pts; xt/ output pts
18 n = length(x); m = length(xt);
19 x1 = repmat(x(:),1,n);    dx = x1 - x1';
20 w = prod(dx + eye(n), 2);    l = zeros(m,n);
21 for jj = 1 : m
22     pt = xt(jj); B = pt - x1; % basis function l(x)
23     l(jj,:) = prod(B - diag(diag(B)) + eye(n));
24 end
25 l = l*diag(1./w);
26 end

```

**标注 5** 关于一般形式的Hermite插值的更新的算法和理论分析，可以参考《张雷洪，张亚楠，单项式基下Hermite插值和最小二乘逼近的理论和实现》

## 5 分段低次插值

**例 9** (Runge现象：等距节点上的高次多项式插值——不稳定！) 给定 $[-1,1]$ 区间函数

$$f(x) = \frac{1}{1+25x^2},$$

和正整数 $n$ ，取 $x_j = -1 + \frac{2j}{n}$ 为插值节点，构造 $n$ 次插值多项式 $P_n(x)$ ；比较 $f(t)$ 与 $P_n(t)$ 的误差，并画出图像。其中 $n=10,20$  输出结果时取自变量 $t=(-1:0.001:1)$ 。<sup>5</sup>

为何要介绍分段低次插值？

1. 等距节点下的高次多项式插值不稳定！
2. 实际问题往往涉及都等距节点！

分段低次插值数学理论简单，但是实用性强，程序(高效代码)稍复杂。

<sup>5</sup>为书写方便，在不引起歧义的前提下，本文会采用Matlab的符号和命令来表达数组。



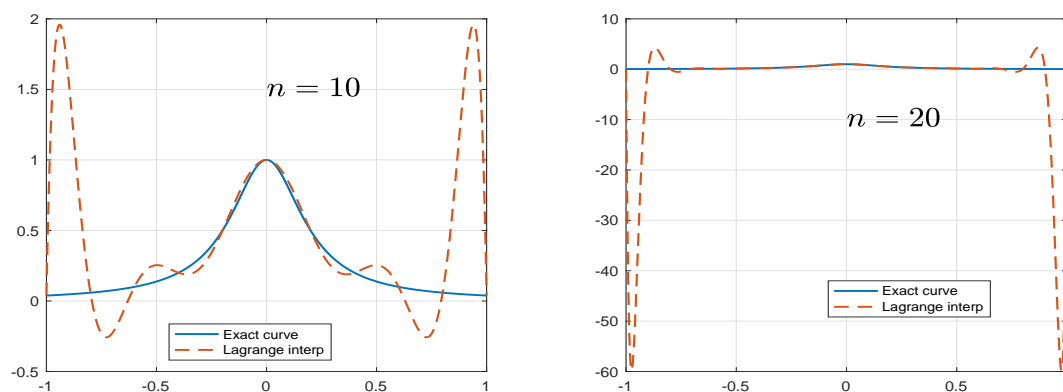


Figure 1: 等距节点下对 Runge函数插值结果

## 5.1 分段线性插值

通过插值点的折线连接起来得到分段函数; 在每一个小区间 $[x_k, x_{k+1}]$ 上

$$I(x) = \frac{x - x_{k+1}}{x_k - x_{k+1}} f(x_k) + \frac{x - x_k}{x_{k+1} - x_k} f(x_{k+1})$$

$$R_k(x) = \frac{f''(\xi)}{2} (x - x_k)(x - x_{k+1})$$

记  $h = \max_{0 \leq k \leq n-1} |x_{k+1} - x_k|$ , 则

$$\max_{x \in [a, b]} |f(x) - I(x)| = \max_k |R_k(x)| \leq \frac{\|f''\|_{\infty}}{8} h^2$$

matlab code: piecelin.m

```

1 clear,
2 f = @(x) 1./(1 + 25*x.^2);
3 N = 11; x1 = linspace(-1,1,N)'; y1 = f(x1);
4 figure; plot(x1,y1,'ro'); hold on,
5 fplot(f,[-1,1],'r-','LineWidth',1);
6 % Find subinterval indices k so that x(k) <= t < x(k+1)
7 t = (-1:0.01:1)'; n = length(x1); k = ones(size(t));
8 for j = 2:n-1
9     k(x1(j) <= t) = j;
10 end
11 % Evaluate interpolant
12 % del = diff(y1)./diff(x1);
13 % p = y1(k) + (t - x1(k)).*del(k);
14 p = y1(k).*(t - x1(k+1))./(x1(k) - x1(k+1)) + ...

```

```

15     y1(k+1).*(t - x1(k) )./(x1(k+1) - x1(k));
16 e1 = norm(p - f(t),inf),
17 plot(t,p,'b--','LineWidth',1);

```

## 5.2 分段Hemite插值

问题: 已知函数在  $(n+1)$  个节点处的值以及一阶导数值, 如何构造一阶连续可导函数满足节点处的函数值和导数值相等?

方法: 根据插值条件在每个小区间上进行Hemite插值. piecehermite.m

结论: 已知  $(2n+2)$  个插值条件, 只得到一阶连续可微函数; 条件太多, 结果太差!!

```

1  f = @(x) 1./(1 + 25*x.^2);
2  df = @(x) -1./(1+25*x.^2).^2*50.*x;
3  N = 41;  x1 = linspace(-1,1,N)';
4  y1 = f(x1); dy1 = df(x1);
5  figure;  LW = 'LineWidth';
6  plot(x1,y1,'ro');  hold on, fplot(f,[-1,1], 'r-',LW,1);
7  t = (-1:0.01:1)';  % output vars
8  ppc = zeros(N-1,4);  % coefs of 3rd degree polys in subinterval
9  ppt = cell(N-1,1);
10 for j = 1:N-1
11     tp = t( t>=x1(j) & t<x1(j+1) );
12     [pt,c] = hermite2p(x1(j:j+1), y1(j:j+1), dy1(j:j+1), tp );
13     ppt(j,1) = {pt};
14     ppc(j,:) = c.';
15 end
16 % pp = mkpp(x1, ppc); % x1 is breaks, ppc(k,:) is the coefs in k-th interval
17 % p = ppval(pp,t);  % computes the piecewise polys on t,
18 p = [];
19 for j = 1:N-1
20     p = [p; ppt{j,:}];
21 end
22 p = [p; y1(end)];
23 e1 = norm(p - f(t),inf),  plot(t,p,'b-',LW,1);

```

```

24 %% %%%
25 function [pt,c] = hermite2p(x1,y1,dy1,t)
26 % input: x1 = [a; b]; y1 = f(x1); dy1 = f'(x1);
27 % output: pt = p(t); p = c0 + c1*x + c2*x^2 + c3*x^3
28 n = length(x1); V = x1(:).^(0:2*n-1); dV = V*0;
29 dV(:,2:2*n) = V(:,1:2*n-1)*diag(1:2*n-1);
30 H = [V; dV]; r = [y1; dy1];
31 c = H \ r; c = flip(c); Vt = t.^(2*n-1:-1:0); pt = Vt*c;
32 end

```

### 5.3 三次样条插值(spline)

**例 10** 给定 $(n+1)$ 个插值节点，能否构造一个多项式插值函数，既满足插值条件，本身又是光滑的(例如：有二阶连续导数)?

考虑样条函数 $S(x)$ ，要求 $S(x)$ 在每个区间上都是三次多项式；且满足 $S(x) \in C^2[x_0, x_n]$

$$S(x_j) = f(x_j), \quad 0 \leq j \leq n;$$

$$S(x_j+0) = S(x_j-0), \quad S'(x_j+0) = S'(x_j-0), \quad 1 \leq j \leq n-1$$

$$S''(x_j+0) = S''(x_j-0), \quad 1 \leq j \leq n-1$$

需要加条件：已知端点处的一阶导数值或二阶导数值；或者

1. **自然边界条件**:  $S''(x_0) = S''(x_n) = 0$
2. **周期条件**:  $S'(x_0) = S'(x_n); \quad S''(x_0) = S''(x_n)$

**标注 6** 周期边界条件一般不用，周期函数更适合三角插值; MATLAB: (not a knot) 给出另一种更为合理的边界条件.

$$S'''(x_1-0) = S'''(x_1+0), \quad S'''(x_{n-1}-0) = S'''(x_{n-1}+0)$$

### 5.4 样条插值的导出

在区间 $[x_j, x_{j+1}]$ 上考虑 $S(x)$ ，根据要求 $S''(x)$ 在小区间上是线性函数，记

$$M_j = S''(x_j), \quad 0 \leq j \leq n,$$

则

$$S''(x) = \frac{x-x_{j+1}}{x_j-x_{j+1}}M_j + \frac{x-x_j}{x_{j+1}-x_j}M_{j+1}, \quad 0 \leq j \leq n-1.$$

为书写方便记  $h_j = x_{j+1} - x_j$  则<sup>6</sup>

$$S''(x) = \frac{x_{j+1} - x}{h_j} M_j + \frac{x - x_j}{h_j} M_{j+1}, \quad x \in [x_j, x_{j+1}]$$

上式积分一次得到

$$S'(x) = -\frac{M_j}{2h_j}(x_{j+1} - x)^2 + \frac{M_{j+1}}{2h_j}(x - x_j)^2 + c_j$$

再积分一次

$$S(x) = \frac{M_j}{6h_j}(x_{j+1} - x)^3 + \frac{M_{j+1}}{6h_j}(x - x_j)^3 + c_j x + d_j$$

其中  $c_j, d_j$  为待定系数。代入  $S(x_j) = y_j$ ;  $S(x_{j+1}) = y_{j+1}$  可得

$$\begin{cases} y_j = \frac{M_j}{6h_j} h_j^3 + c_j x_j + d_j \\ y_{j+1} = \frac{M_{j+1}}{6h_j} h_j^3 + c_j x_{j+1} + d_j \end{cases}$$

解得  $c_j, d_j$  与  $M_j$  的关系. 代入得到:

$$S(x) = \frac{M_j}{6h_j}(x_{j+1} - x)^3 + \frac{M_{j+1}}{6h_j}(x - x_j)^3 + (y_j - \frac{M_j h_j^2}{6}) \frac{x_{j+1} - x}{h_j} + (y_{j+1} - \frac{M_{j+1} h_j^2}{6}) \frac{x - x_j}{h_j}$$

只需确定  $M_j$  即得到  $S(x)$ . 问题转化为求解  $M_j$ .

在  $[x_j, x_{j+1}]$  上, 对  $S(x)$  求导

$$S'(x) = \frac{-M_j}{2h_j}(x_{j+1} - x)^2 + \frac{M_{j+1}}{2h_j}(x - x_j)^2 + (y_j - \frac{M_j h_j^2}{6}) \frac{-1}{h_j} + (y_{j+1} - \frac{M_{j+1} h_j^2}{6}) \frac{1}{h_j}$$

进而

$$S'(x_j + 0) = -M_j h_j / 2 + (y_j - \frac{M_j h_j^2}{6}) \frac{-1}{h_j} + (y_{j+1} - \frac{M_{j+1} h_j^2}{6}) \frac{1}{h_j}$$

$$S'(x_{j+1} - 0) = M_{j+1} h_j / 2 + (y_j - \frac{M_j h_j^2}{6}) \frac{-1}{h_j} + (y_{j+1} - \frac{M_{j+1} h_j^2}{6}) \frac{1}{h_j}$$

即<sup>7</sup>

$$S'(x_j - 0) = M_j h_{j-1} / 2 + (y_{j-1} - \frac{M_{j-1} h_{j-1}^2}{6}) \frac{-1}{h_{j-1}} + (y_j - \frac{M_j h_{j-1}^2}{6}) \frac{1}{h_{j-1}}$$

<sup>6</sup>此定义表明  $S''(x)$  节点  $x_j$  处的值固定, 由于两边都是多项式, 则二阶导数连续且左右极限值相等。

<sup>7</sup>注意:  $S'(x_j - 0)$  的计算对应小区间  $[x_{j-1}, x_j]$  的右端点。

由一阶导数连续的条件，即

$$S'(x_j+0) = S'(x_j-0)$$

得到

$$\frac{h_{j-1}}{6}M_{j-1} + \frac{h_{j-1}+h_j}{3}M_j + \frac{h_j}{6}M_{j+1} = \frac{y_{j+1}-y_j}{h_j} - \frac{y_j-y_{j-1}}{h_{j-1}}$$

上式两端同时除以  $(h_j+h_{j-1})/6$ , 并记  $\lambda_j = \frac{h_j}{h_j+h_{j-1}}$  得到简洁形式

$$(1-\lambda_j)M_{j-1} + 2M_j + \lambda_j M_{j+1} = 6f[x_{j-1}, x_j, x_{j+1}] = F_j, \quad 1 \leq j \leq n-1$$

此时方程欠定，读者可自己补充合理条件，并推导出样条插值的计算步骤。

matlab 函数 spline: not a knot

$$S^{(3)}(x_1+0) = S^{(3)}(x_1-0); \quad S^{(3)}(x_{N-1}+0) = S^{(3)}(x_{N-1}-0)$$

计算得

$$S^{(3)}(x) = \frac{-M_j}{h_j} + \frac{M_{j+1}}{h_j} = \frac{M_{j+1}-M_j}{h_j}, \quad x \in [x_j, x_{j+1}]$$

进而

$$\frac{M_1-M_0}{h_0} = \frac{M_2-M_1}{h_1}, \quad \frac{M_N-M_{N-1}}{h_{N-1}} = \frac{M_{N-1}-M_{N-2}}{h_{N-2}},$$

关于  $M_j$  的线性方程组系数矩阵

$$\begin{bmatrix} -h_0 & h_0+h_1 & -h_1 & & & \\ 1-\lambda_1 & 2 & \lambda_1 & & & \\ & & \ddots & & & \\ & & & 1-\lambda_{N-1} & 2 & \lambda_{N-1} \\ & & & -h_{N-1} & h_{N-1}+h_{N-2} & -h_{N-2} \end{bmatrix} \cdot \begin{bmatrix} M_0 \\ M_1 \\ \vdots \\ M_{N-1} \\ M_N \end{bmatrix} = \begin{bmatrix} 0 \\ F_1 \\ \vdots \\ F_{N-1} \\ 0 \end{bmatrix}$$

上式解出  $M_j$ , 代入表达式  $S(x)$  即可。Matlab code : spline.m

```
1 function s = myspline1(x,fx,t)
2 % % cubic spline interpolation on (x,fx)
3 % s = P(t); P: piecewise cubic polys
4 % for example:
5 %      f = @(z) 1./(1+25*z.^2);
```

```

6 %      N = 11;  x = linspace(-1,1,N);  fx = f(x);
7 %      t = (-1 : 0.01: 1).';
8 %      s = myspline1(x,fx,t);
9 %      s1 = spline(x,fx,t);  %  matlab  spline
10 %      error = norm(s - s1(:), inf),
11 x = x(:); fx = fx(:); t = t(:);
12 % ==== compute M_j refer f''(x_j)
13 n1 = length(x) - 1;      h = diff(x);  f1 = diff(fx)./h;
14 rhs = 6*(f1(2:n1) - f1(1:n1-1))./(x(3:n1+1) - x(1:n1-1));
15 rhs = [0; rhs(:); 0];
16 lam = h(2:n1)./(h(2:n1) + h(1:n1-1));
17 A = 2*speye(n1+1) + sparse(1:n1,2:n1+1,[2;lam],n1+1,n1+1)...
18     + sparse(2:n1+1,1:n1,[1-lam;2],n1+1,n1+1);
19 % == not a knot on BC
20 A(1,1:3) = [-h(2), h(2)+h(1), -h(1)];
21 A(n1+1,n1-1:n1+1) = [-h(n1), h(n1)+h(n1-1), -h(n1-1)];
22 % A(1,1) = 1; A(n1+1,n1+1) = 1;  % natural boundary
23 M = A \ rhs(:);
24 % Find subinterval indices k so that x(k) <= t < x(k+1)
25 k = ones(size(t));
26 for jj = 2:n1
27     k(x(jj) <= t) = jj;
28 end
29 % ===== Evaluate spline
30 t1 = x(k+1) - t;  t2 = t - x(k);
31 s = M(k).*t1.^3 + M(k+1).*t2.^3 + ...
32     (6*fx(k) - M(k).*h(k).^2).*t1 + ...
33     (6*fx(k+1) - M(k+1).*h(k).^2).*t2;
34 s = s./(6*h(k));

```

## 5.5 Shape-Preserving Piecewise Cubic(阅读材料, 不要求掌握)

本节内容参考F. N. Fritsch and R. E. Carlson, "Monotone Piecewise Cubic Interpolation", SIAM J. Numerical Analysis 17, 1980, 238-246. David Kahaner, Cleve Moler and Stephen Nash, Numerical Methods and Software, Prentice Hall, 1988.

给定插值条件：

$$f(x_j) = y_j, \quad 0 \leq j \leq N$$

目标：得到分段三次多项式  $S(x)$ , 满足：（1）插值条件；（2） $S(x)$  有一阶连续导数.

几点说明：

- (1) 三次样条插值(spline)有二阶连续导数, 因此上述目标可以达到。
- (2) 分片Hermite 插值也符合上述目标, 但是条件太多:  $f'(x_j) = d_j, 0 \leq j \leq N$ .
- (3) 不加一阶导数的条件, 如何实现分段三次多项式?
- (4) 如果可以, 与spline比较, 连续、区别和优点?

记一阶差商

$$\delta_k = \frac{y_{k+1} - y_k}{x_{k+1} - x_k}, \quad k = 0, \dots, N$$

一阶导数由一阶差商的加权平均给出; 例如等距网格下的内点一阶导数定义如下

$$d_k = \begin{cases} 0, & \delta_{k-1} * \delta_k \leq 0 \\ \frac{2}{1/\delta_{k-1} + 1/\delta_k}, & \delta_{k-1} * \delta_k > 0 \end{cases}$$

由上式给出一阶导数  $d_k$ , 进而可直接利用分片Hermite插值即可得到目标。需要注意的是上式没有给出边界  $d_0, d_N$  的一阶导数值。为了保证整体的进度,  $d_0$  可由  $\delta_0, \delta_1$  二阶外推得到。一旦  $d_j = f'(x_j), 0 \leq j \leq N$  得到, 即可按照分段Hermite插值方式给出算法. 参考 Matlab code : pchip.m 该方法 保持离散数据的局部单调性.

## 小结

1. 插值法基本原理、插值条件: Vandermonde矩阵、barycentric formular
2. 多项式插值: Lagrange, Newton, Hermite 插值
3. 分段低次插值: piecewise linear / Hermite / spline / pchip
4. 插值法是重要的基本数值方法, 读者在后文学习了正交多项式理论后, 可尝试自己完善补充 基于正交多项式插值的理论和算法

## 上机题

1. 编程Lagrange型, Newton型插值多项式; 在区间 $[-1,1]$ 上等距取 $n = 10, 20, 40$ 个点构造 $f(x) = e^x$ 的插值多项式, 并与精确曲线比较误差。

2. (1) 与第一题同样取点构造插值多项式近似Runge函数并比较误差

$$f(x) = \frac{1}{1 + 25x^2}$$

(2) 在 $[-1,1]$ 上取非等距节点(Chebyshev零点) $\{x_j = \cos(\frac{2j-1}{2n}\pi)\}_{j=1}^n$ 或者(Chebyshev-Lobatto点)

$$x_j = \cos(\frac{j\pi}{n}) \quad j = 0, 1, \dots, n$$

取 $n = 10, 20, 30$ 构造插值多项式逼近Runge函数并比较误差。

3. 编写分段线性插值、分段Hermite插值程序; 在区间 $[-1,1]$ 上等距取 $n = 10, 20, 40$ 个点计算上一题Runge函数的分段插值多项式, 并与精确曲线比较误差。

4. (本科生选做/研究生必做) 编写三次样条插值, 计算上例.